

第40回 計算数理工学フォーラム

2021/9/24

階層的低ランク近似法に関するレビュー

東京工業大学 学術国際情報センター

横田 理央

rioyokota@gsic.titech.ac.jp



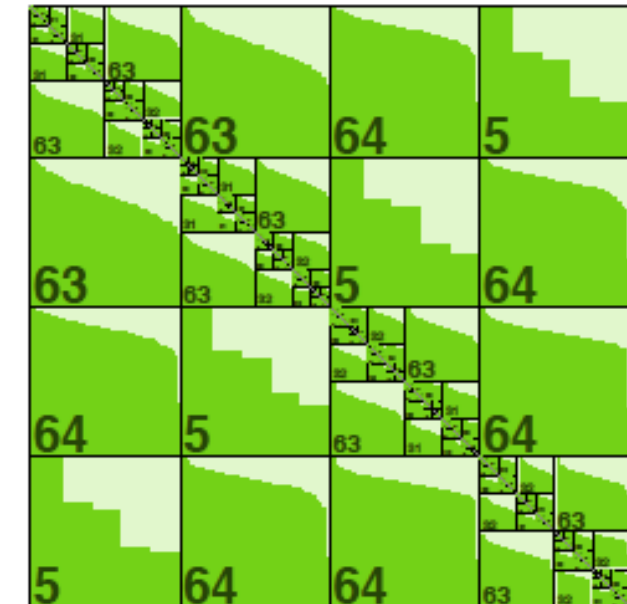
階層的低ランク近似法とは？

密行列の近似直接解法

演算量: $\mathcal{O}(N^3) \longrightarrow \mathcal{O}(N)$

メモリ: $\mathcal{O}(N^2) \longrightarrow \mathcal{O}(N)$

非対角ブロックのランクは小さいという仮定



疎行列に使えるのか？

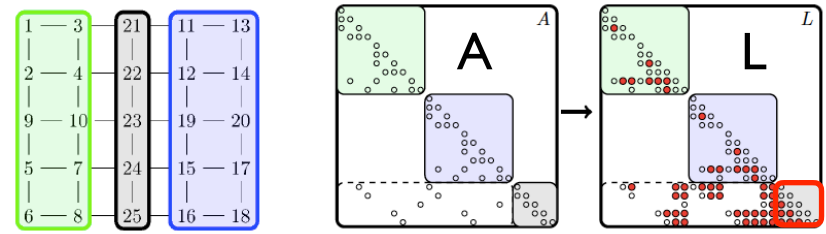
Fill-inさせないことが重要

Schur補元は密だが非対角ブロックのランクは小さい

反復法では？

前処理として使えるがMultigridにはなかなか勝てない

条件数が悪い問題でなら優位かも？



Schur complement

機械学習向けハードウェアと相性が良い

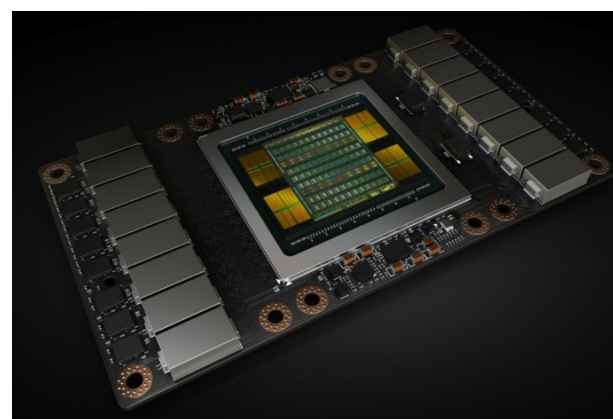
小さな密行列演算がたくさん生じる



低ランク近似なので低精度演算で十分

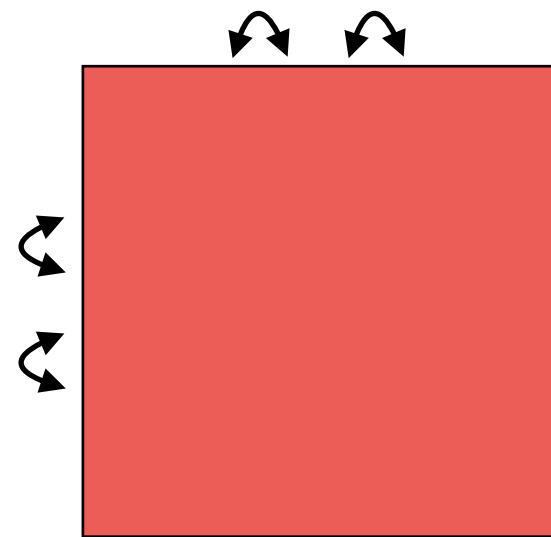
$$D = \left(\begin{array}{cccc} A_{0,0} & A_{0,1} & A_{0,2} & A_{0,3} \\ A_{1,0} & A_{1,1} & A_{1,2} & A_{1,3} \\ A_{2,0} & A_{2,1} & A_{2,2} & A_{2,3} \\ A_{3,0} & A_{3,1} & A_{3,2} & A_{3,3} \end{array} \right) \text{FP16 or FP32} \times \left(\begin{array}{cccc} B_{0,0} & B_{0,1} & B_{0,2} & B_{0,3} \\ B_{1,0} & B_{1,1} & B_{1,2} & B_{1,3} \\ B_{2,0} & B_{2,1} & B_{2,2} & B_{2,3} \\ B_{3,0} & B_{3,1} & B_{3,2} & B_{3,3} \end{array} \right) \text{FP16} + \left(\begin{array}{cccc} C_{0,0} & C_{0,1} & C_{0,2} & C_{0,3} \\ C_{1,0} & C_{1,1} & C_{1,2} & C_{1,3} \\ C_{2,0} & C_{2,1} & C_{2,2} & C_{2,3} \\ C_{3,0} & C_{3,1} & C_{3,2} & C_{3,3} \end{array} \right) \text{FP16 or FP32}$$

4 4



階層的低ランク近似法の3つのステップ

並べ替え



最小化したいのは？

ランク (幾何学的距離)

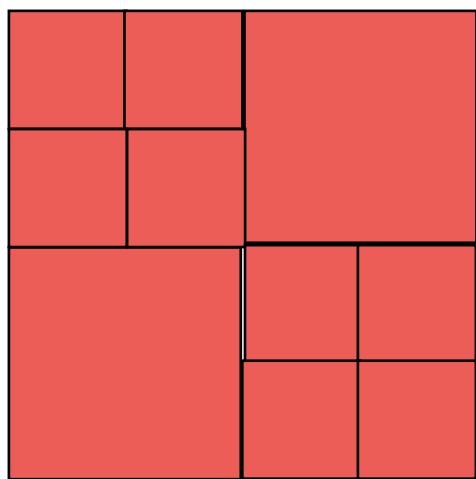
通信 (データ局在性)

Fill-in (グラフの接続)

→普通は近いものと
繋がっているので

Fill-inとランクの
最小化は両立する

階層化



どこまで分割するか？

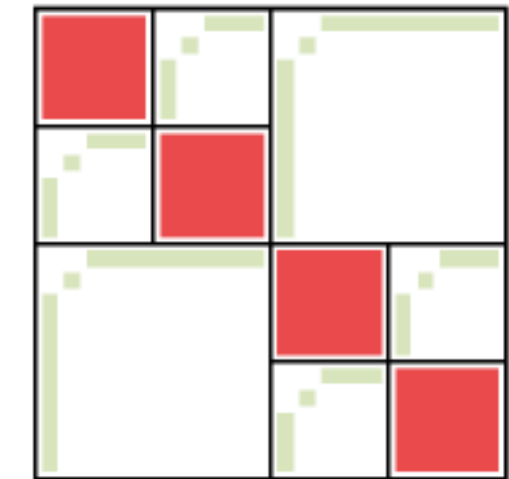
分割数を増やせば

それぞれのランクは
小さくなる

ランクは固定で分割に
よって精度を制御する
こともできる

→SIMD friendly

低ランク近似



速さか、安定性か？

ACAは速いが不安定

RSVDは安定だが遅い

どのブロックを近似
するかを選択するのに
Gram距離を使うこと
もできる

Replacing Exact Linear Algebra with Low-Rank

厳密解

$$\mathcal{O}(N^3)$$

近似解

$$\mathcal{O}(N)$$

Application

ScaLAPACK

cuSolverMG

LAPACK

PLASMA

BLAS

CPU

FP64

cuSolverDN

MAGMA

MKL

CUBLAS

GPU

FP32

分散

QR

LU

MatMul
Mat-vec

App.

HiCMA

STRUMLPACK

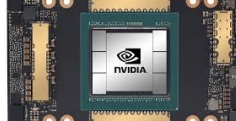
GOFMM

LoRaSp

HBLAS

?PU

TF32, bfloat16

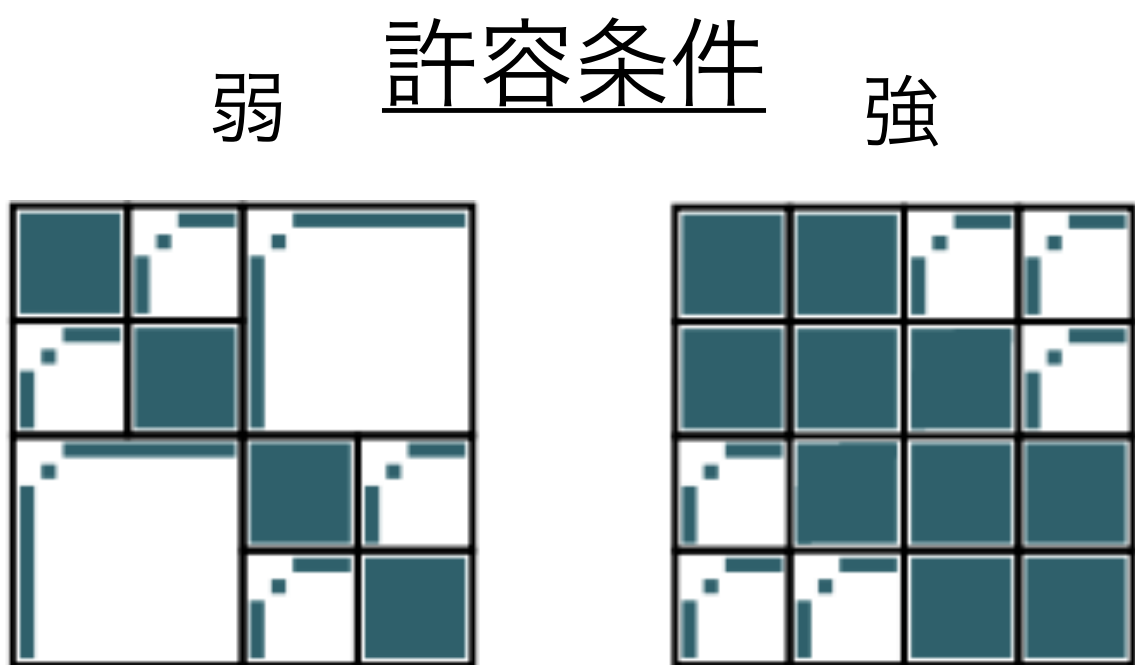
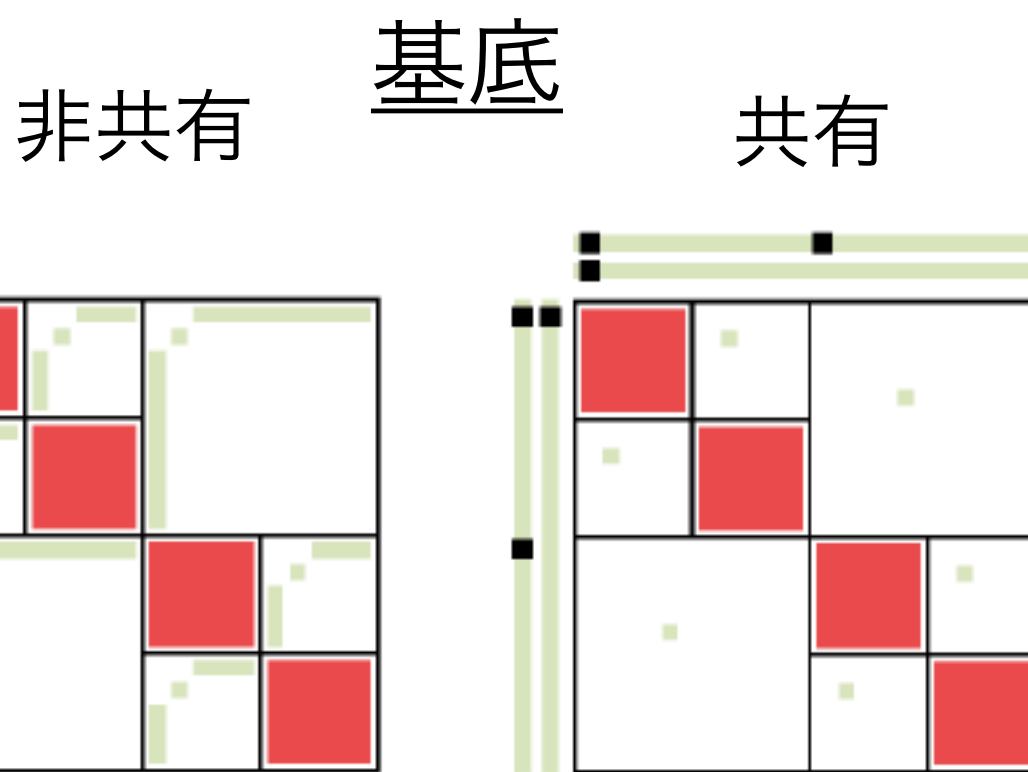


List of implementations

	Method	Developer	url
AHMED	H-matrix	M. Bebendorf	https://github.com/xantares/ahmed
ASKIT	FMM	C. D. Yu	http://padas.ices.utexas.edu/libaskit
DMHM	H-matrix	J. Poulson	https://bitbucket.org/poulson/dmhm/src/default/
GOFMM	H^2 -matrix	C. D. Yu	https://github.com/ChenhanYu/hmlp
H2Lib	H^2 -matrix	S. Börm	https://github.com/H2Lib/H2Lib
H2Tools	H^2 -matrix	A. Mikhalev	https://bitbucket.org/muxas/h2tools
HACApK	H-matrix	A. Ida	https://github.com/HLRA-JHPCN/HACApK-MAGMA
HiCMA	H-matrix	H. Ltaief	https://github.com/ecrc/hicma
HLib	H-matrix	L. Grasedyck	http://www.hlib.org
HLibPro	H-matrix	R. Kriemann	http://www.hlibpro.com
hmglib	H-matrix	P. Zaspel	https://github.com/zaspel/hmglib
HODLR	HODLR	A. Aminfar	https://github.com/amiraa127/Dense_HODLR
HSS	HSS	J. Xia	http://www.math.purdue.edu/~xiaj/
LoRaSp	H^2 -matrix	H. Pouransari	https://bitbucket.org/hadip/lorasp
MUMPS-BLR	BLR	P. R. Amestoy	http://mumps.enseeiht.fr
STURMPACK	HSS	P. Ghysels	http://portal.nersc.gov/project/sparse/strumpack

手法間の違い

	基底の 共有	許容条件
H行列	無	強
H ² 行列	有	強
HODLR	無	弱
HSS	有	弱
BLR	無	非階層的
BLR ²	有	非階層的

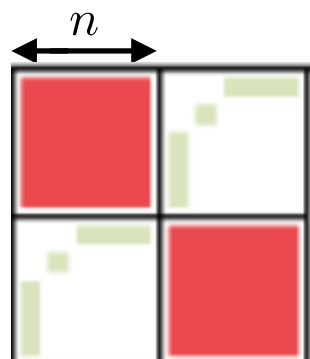


Nullity Theorem

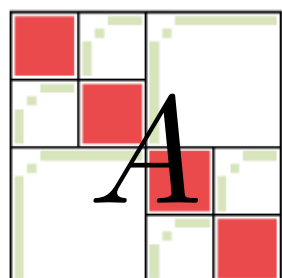
$$\begin{bmatrix} A & B \\ C & D \end{bmatrix}^{-1} = \begin{bmatrix} E & F \\ G & H \end{bmatrix}$$

nullity $A =$ nullity H ,
 nullity $B =$ nullity F ,
 nullity $C =$ nullity G ,
 nullity $D =$ nullity E .

$$\text{rank}(A) + \text{nullity}(A) = n.$$

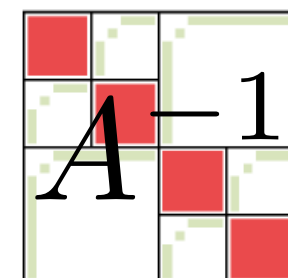


↓ Apply it recursively

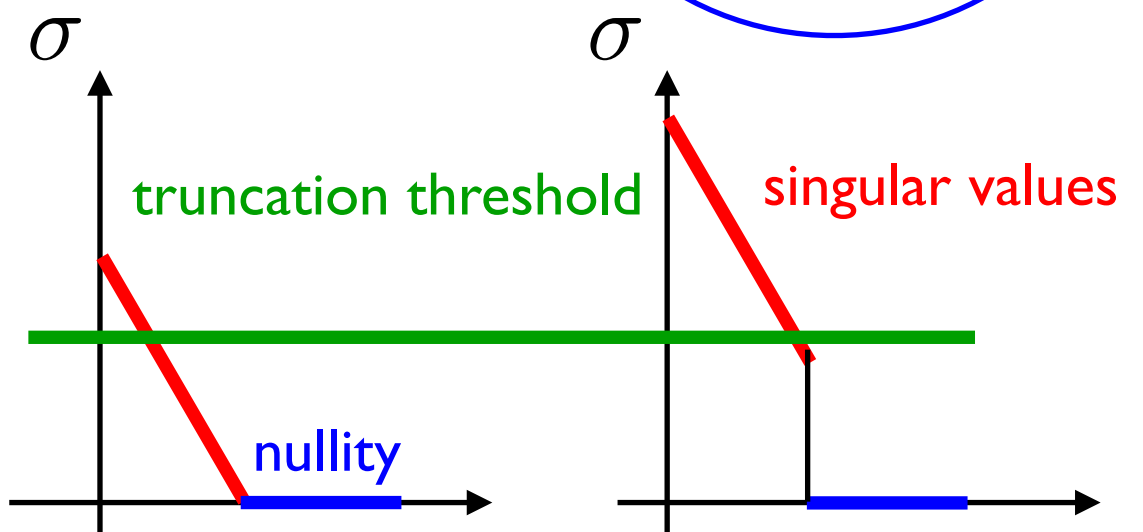
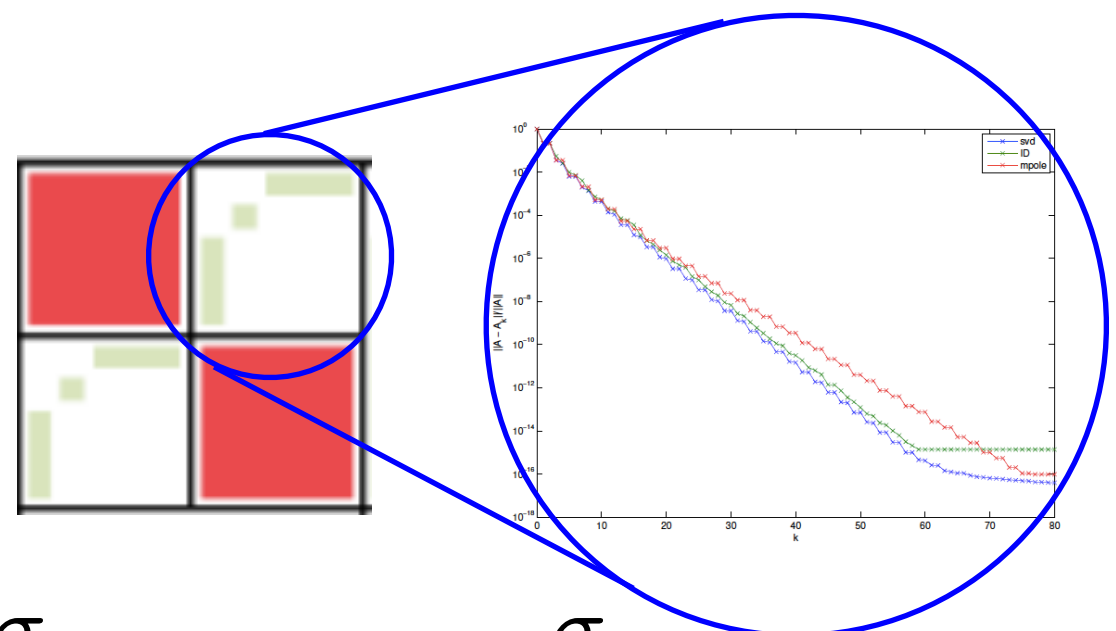


if

then



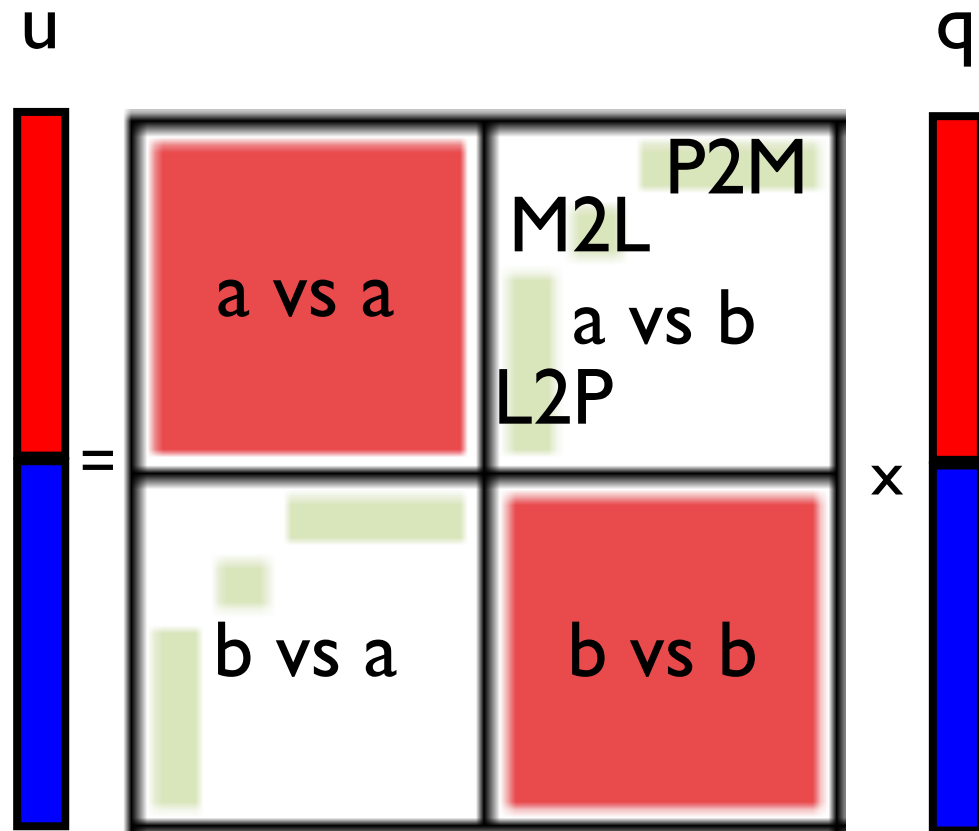
特異値の減衰



A

$A * 100$

FMMはH²行列一ベクトル積



$$u_i = \sum_{j=1}^N G(\mathbf{x}_{ij}) q_j$$



L2P

$$u_i = \sum_{k=0}^p \frac{1}{k!} x_{ii'}^k L^k(x_{i'})$$

$$\mathbf{M}^{\mathbf{n}}(\mathbf{x}_{j'}) = \sum_{i=1}^N \frac{1}{\mathbf{n}!} \mathbf{x}$$

○

$$\mathbf{L}^{\mathbf{k}}(\mathbf{x}_{i'}) = \sum_{\mathbf{n}=0}^{p-\mathbf{k}} \nabla^{(\mathbf{n}+\mathbf{k})} G(\mathbf{x}_{i'j'}) \mathbf{M}^{\mathbf{n}}(\mathbf{x}_{j'})$$

M2L

級数展開の項数 p=3

$$\begin{matrix} M_0 \\ M_1 \\ M_2 \end{matrix} = \boxed{P2M \quad \frac{1}{n!} x_{j'j'}^n}$$

	X	q0
		q1
		q2
		q3
		q4
		q5
		q6
		q7
		q8

L0
L1
L2

$$= \nabla^{(\mathbf{n}+\mathbf{k})} G(\mathbf{x}_{i'j'})$$

X M0
M1
M2

卷之三

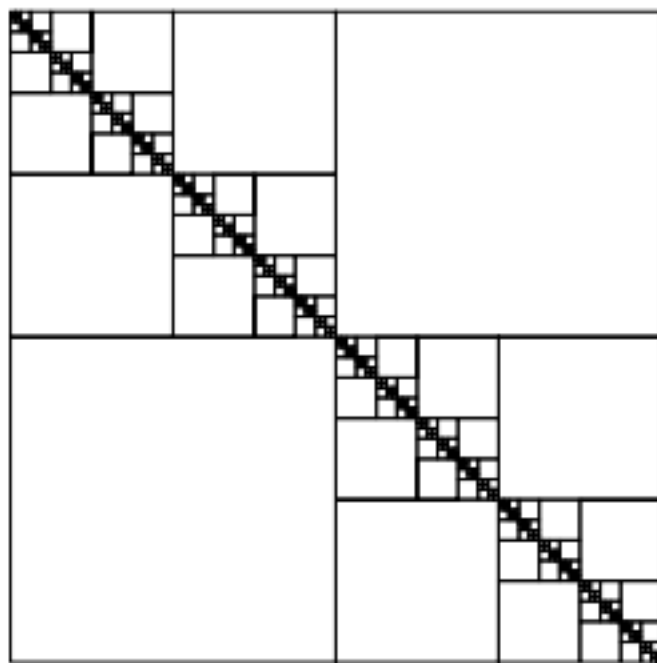
$$= \boxed{L^2 P} \\ \frac{1}{k!} x_{ii'}^k$$

X

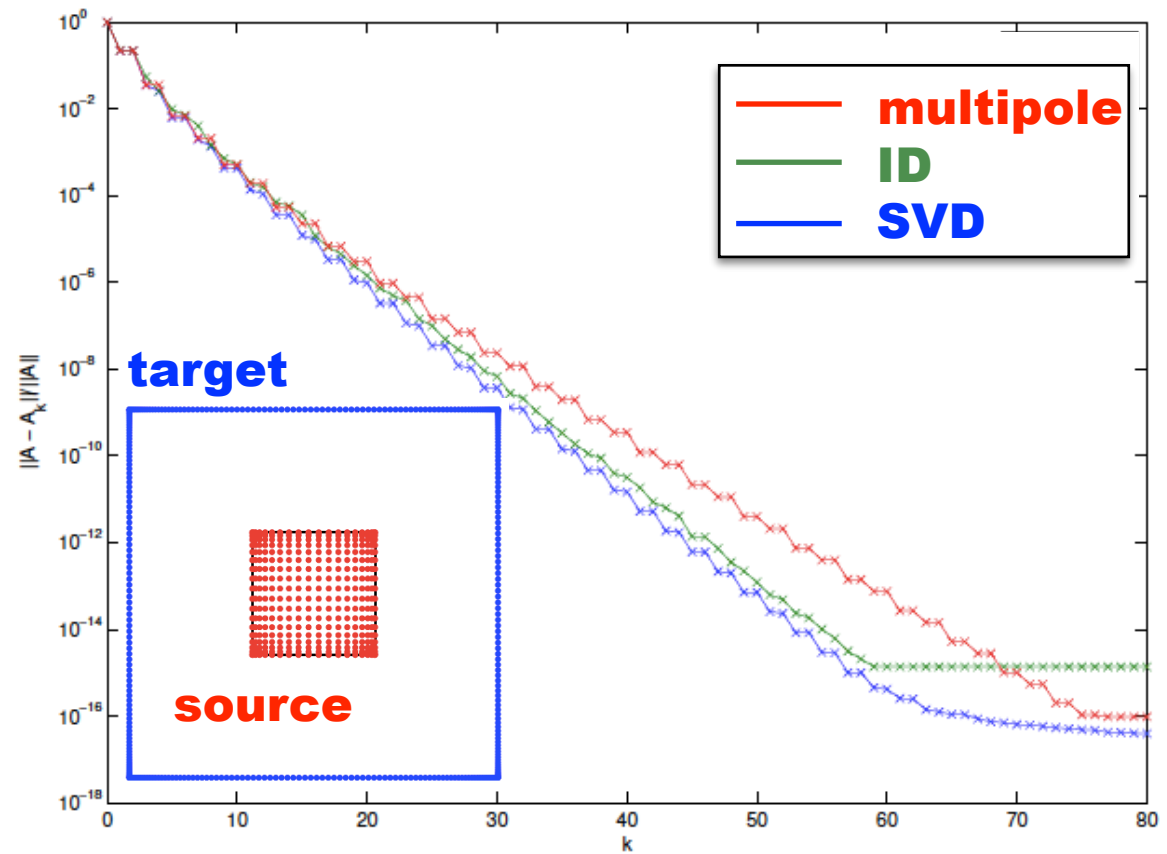
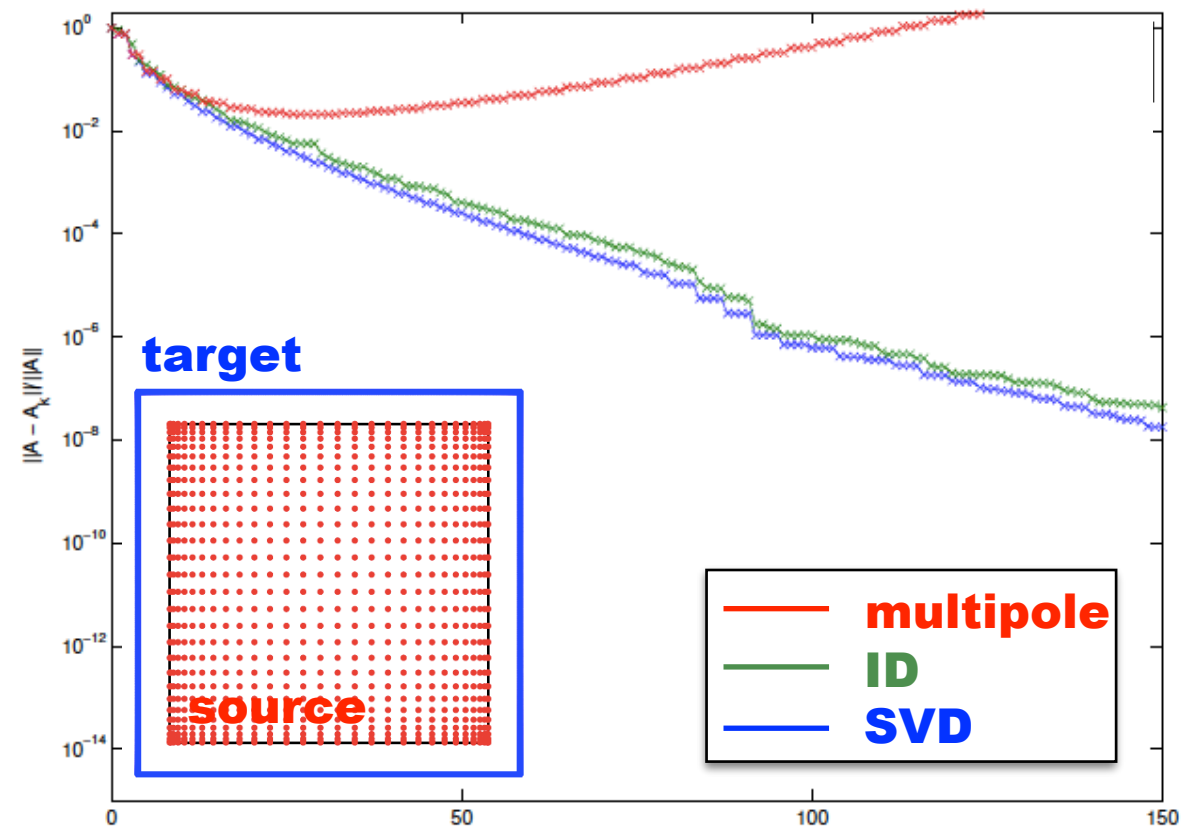
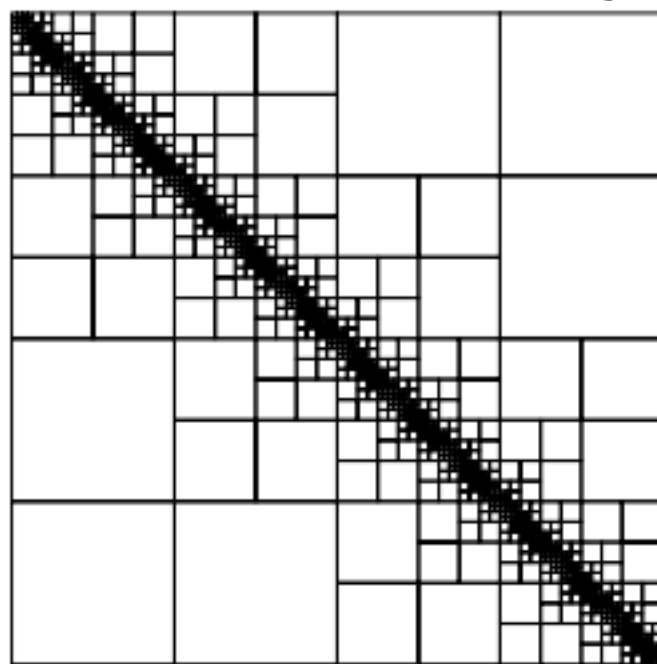
L0
L1
L2

許容条件

Weak admissibility

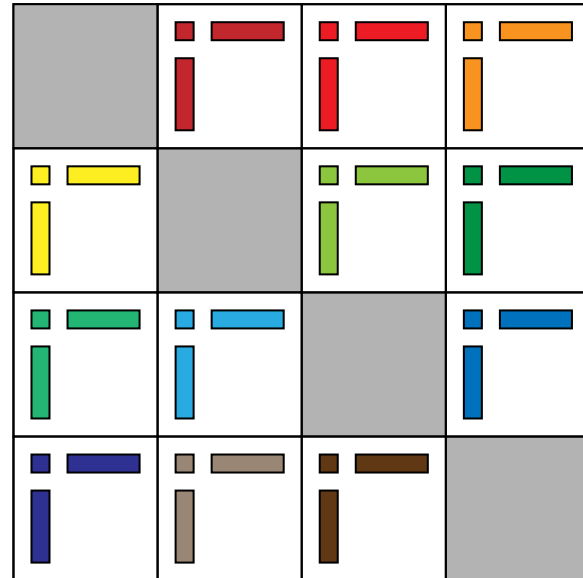


Standard admissibility

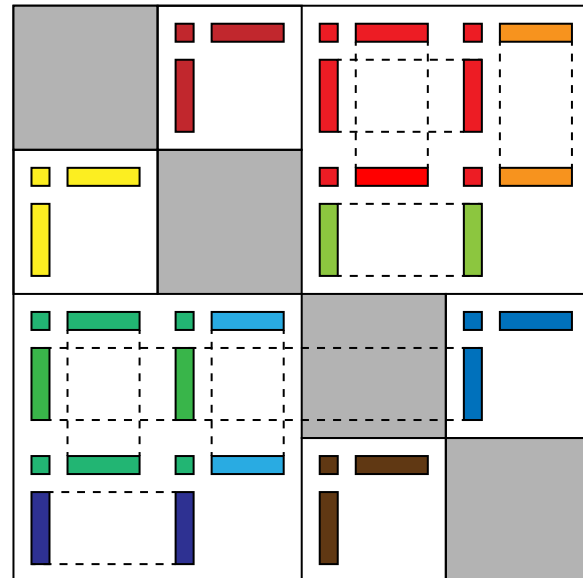


Uniform Basis

BLR

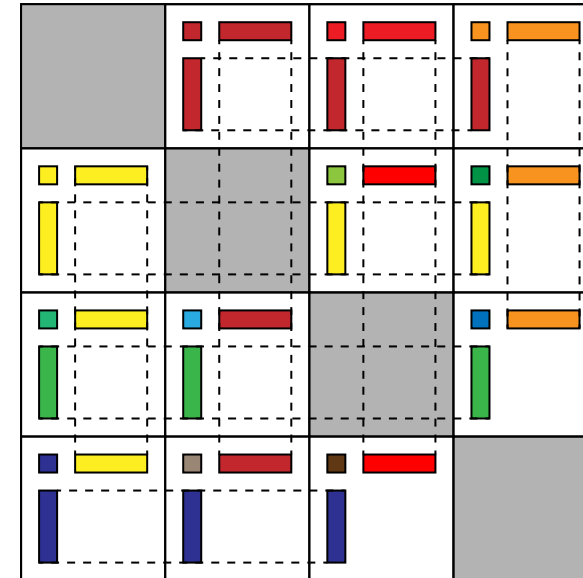


H-matrix (HODLR)

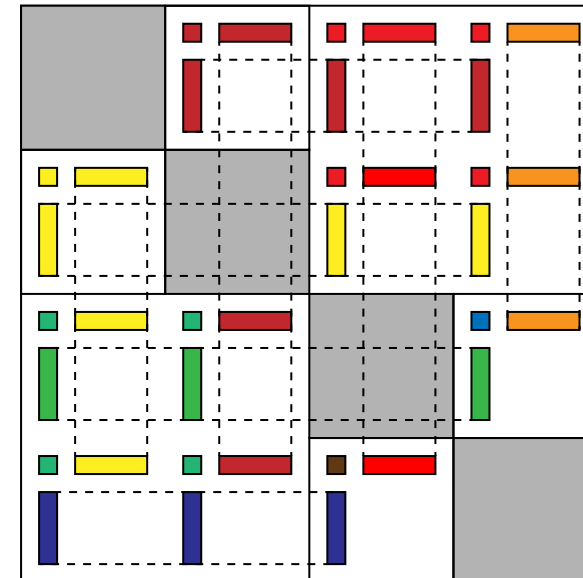


Nonuniform basis

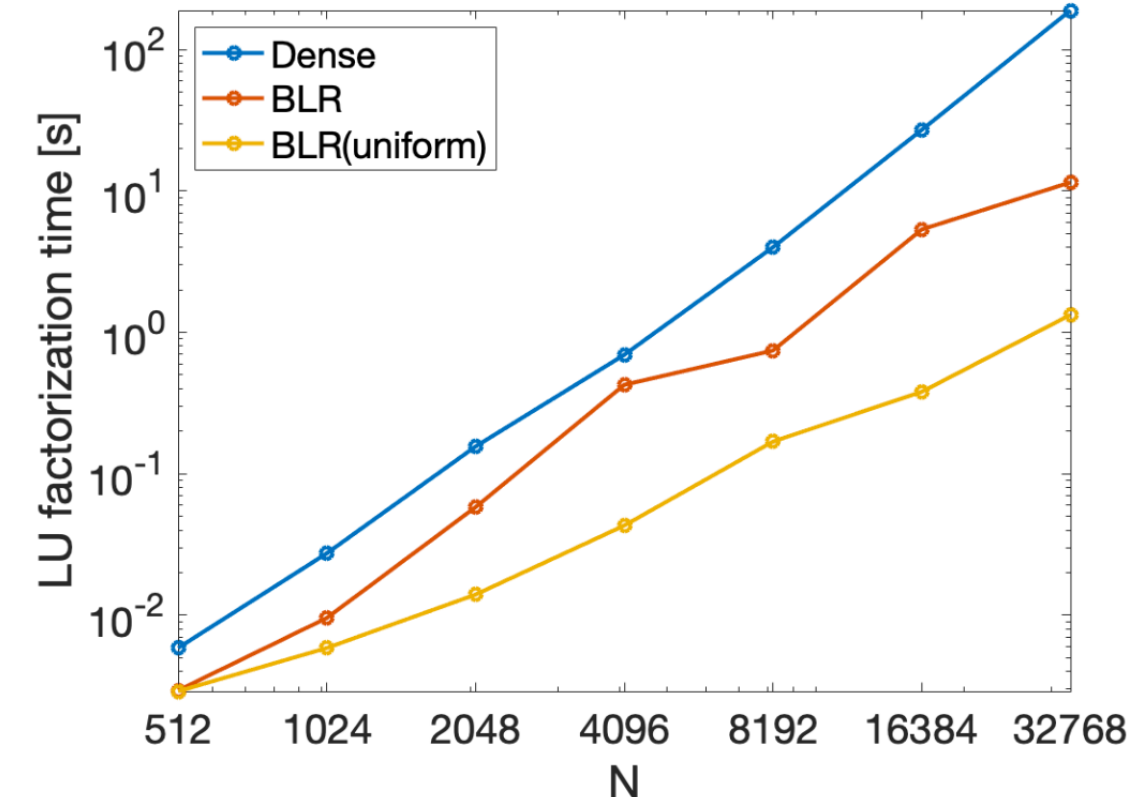
BLR²



H²-matrix (HSS)



Uniform basis



勢力図

Germany

Shared memory H-LU
Kriemann (2014)

Nested cross approximation
Börm & Christoffersen (2014)

H²-matrix for eigenvalues
Berner et al. (2015)

OmpSs H-LU
Aliaga et al. (2017)

GCA H²-matrix
Börm et al. (2018)

Berkeley

HSS2D
Xia (2014)

HSS selected inversion
Xia et al. (2015)

Superfast DC eigenvalue
Vogel, et al. (2016)

Shared memory HSS MF
Ghysels et al. (2016)

Distributed HSS MF
Rouet et al. (2016)

Japan

Distributed H-matrix
Ida et al. (2015)

Distributed GPU H-matrix
Yamazaki et al. (2018)

Lattice H-matrix
Ida (2018)

GPU load-balance ACA
Hoshino et al. (2018)

Mixed precision H-matrix
Ooi et al. (2020)

EPFL

HODLR QR
Kressner et al. (2018)

Minnesota

Multilevel Low-Rank
Li & Saad (2013)

DD Low-Rank
Li & Saad (2014)

Multilevel Schur Low-Rank
Xi et al. (2016)

SMASH
Cai et al. (2018)

H²-matrix + FMM
Xing & Chow (2021)

Stanford(Ying)

O(N) RS 2-D
Corona (2015)

HIF for PDEs
Ho & Ying (2016)

Distributed memory HIF
Li & Ying (2016)

RS for maximum likelihood
Minden et al. (2016)

RS with strong admissibility
Minden et al. (2017)

Quantized Tensor Train
Corona et al. (2017)

Stanford(Darve)

HODLR multifrontal
Aminfar et al. (2016)

IFMM precond. Stokes
Coulier et al. (2017)

IFMM precond. Helmholtz
Takahashi et al. (2017)

Non-extensive sparsification
Sushnikova et al. (2017)

Sparsified Nested Dissection
Cambier et al. (2019)

spaND QR
Gnanasekaran et al. (2020)

INRIA

BLR multifrontal
Amestoy et al. (2015)

BLR multicore
Amestoy et al. (2017)

Multilevel BLR
Amestoy et al. (2019)

Texas (Biros)

inv-ASKIT
Yu et al. (2016)

Distributed inv-ASKIT
Yu et al. (2017)

GOFMM
Yu et al. (2017)

Distributed GOFMM
Yu et al. (2018)

KAUST

BLR Cholesky
Akbudak et al. (2017)

Batched QR, SVD
Boukaram et al. (2018)

GPU MatVec
Boukaram et al. (2019)

最近の論文の紹介

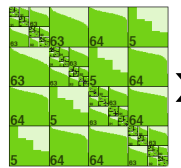
著者・年	行列	演算	構造	近似法	OpenMP	MPI	GPU
2016Vogel	密	$Q \wedge Q^T$	HSS	?	×	×	×
2017Akbudak	密	Cholesky	BLR	RSVD	○	×	×
2017Fernando	密	LU	HSS	ID	×	○	○
2017Ghysels	疎	LU	HSS	RSVD	○	○	×
2017Li	疎	LU	HSS	RRQR	×	○	×
2017Minden	疎	LU	H2	RRQR	×	×	×
2018Amestoy	疎	LU	MBLR	?	×	×	×
2018Börm	密	$O(N)$ 圧縮	H2	GCA	×	×	×
2018Cai	密	$O(N)$ 圧縮	HSS	RRQR	×	×	×
2018Kressner	密	QR	HODLR	?	×	×	×
2018Yu	密	$O(N)$ 圧縮	HSS	ID	○	○	×
2019Amestoy	疎	LU	BLR	?	○	○	×
2019Boukaram	密	MV	H2	RSVD	×	×	○
2019Cambier	疎	LU	H2	RRQR	×	×	×
2019Zaspel	密	MV	H	ACA	×	×	○

並列化

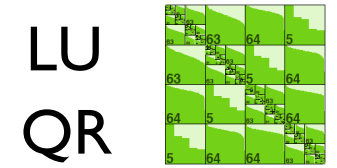


R. Kriemann (2005), Parallel {H}-Matrix Arithmetics on Shared Memory Systems

R. Kriemann (2015), H-LU factorization on many-core systems



batched MAGMA



StarPU / OmpSs

JHPCN

A. Ida

I. Yamazaki

S. Oshima

T. Hiraishi

T. Iwashita

K. Nakajima

T. Aoki

J. Dongarra

共有メモリ

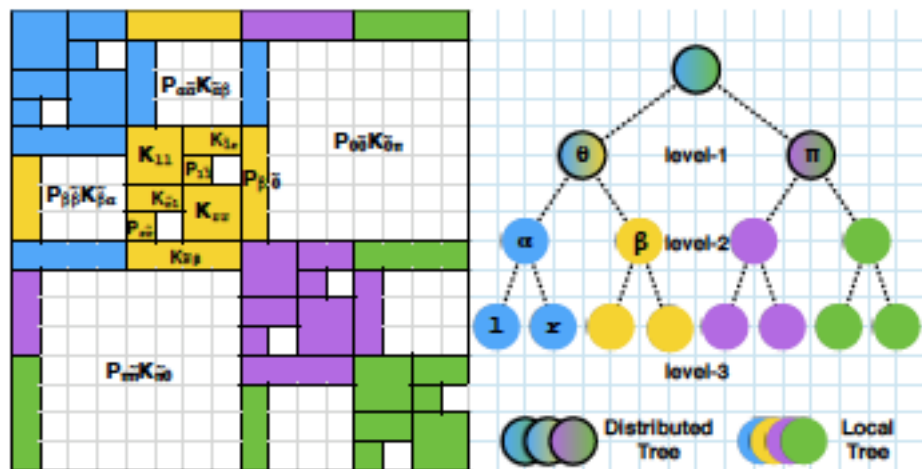
分散メモリ

M. Izadi (2012), Hierarchical Matrix Techniques on Massively Parallel Computers

S. Wang (2013), Efficient Scalable Algorithms for Solving Dense Linear Systems with HSS

Y. Li (2016), Distributed-memory Hierarchical Interpolative Factorization

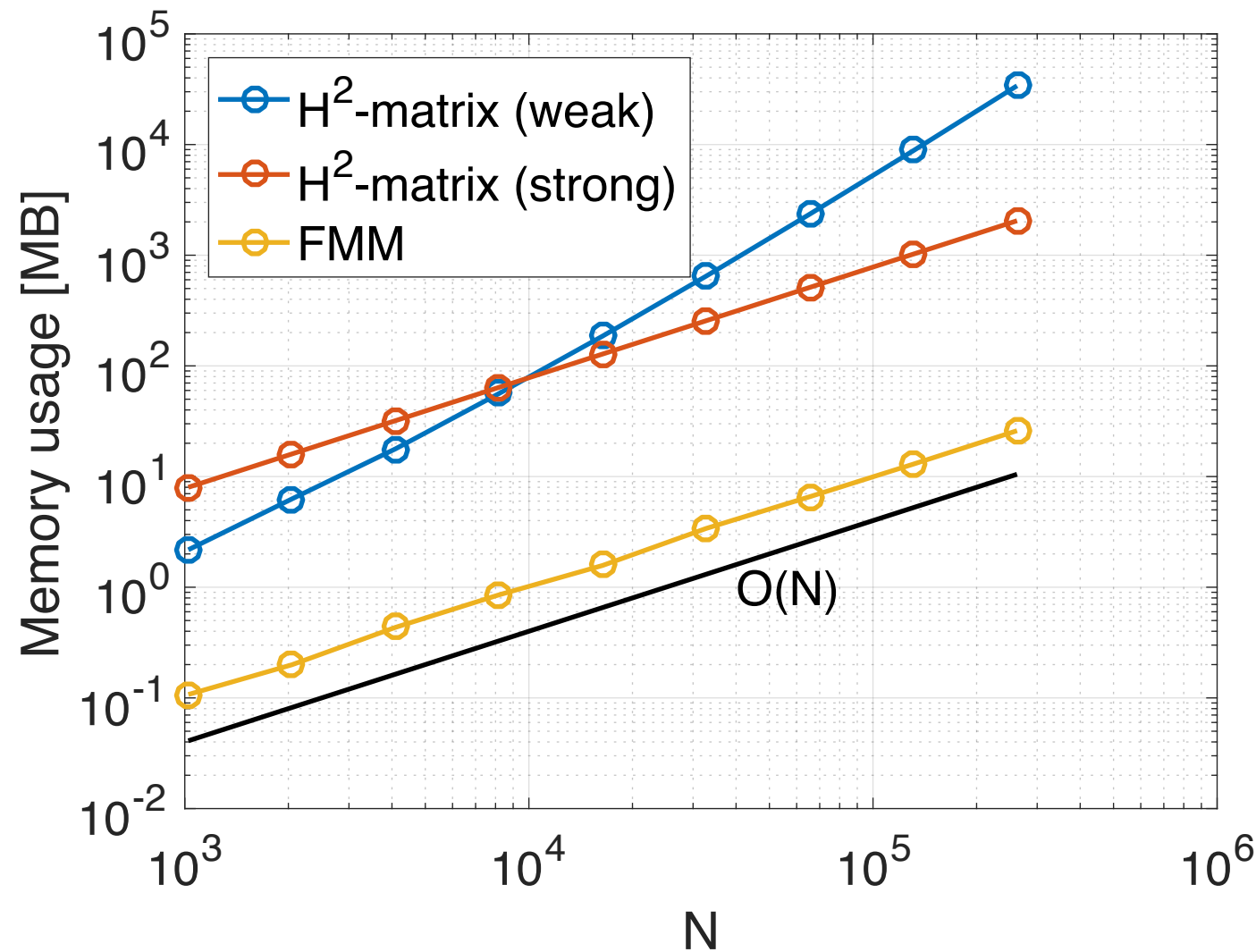
C. D. Yu (2016), INV-ASKIT: A Parallel Fast Direct Solver for Kernel Matrices



	Complexity	Concurrency
BLR	$\mathcal{O}(N^{4/3})$	High
H ² (HSS)	$\mathcal{O}(N)$	Low

complexity-concurrency tradeoff

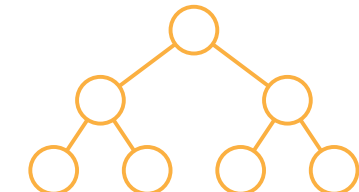
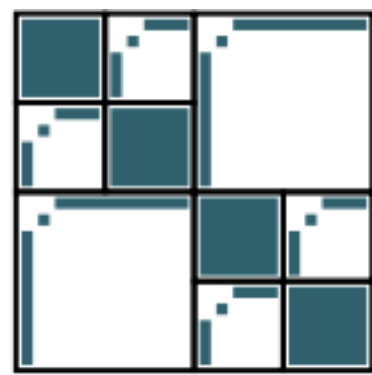
FMMとH²-matrixの関係



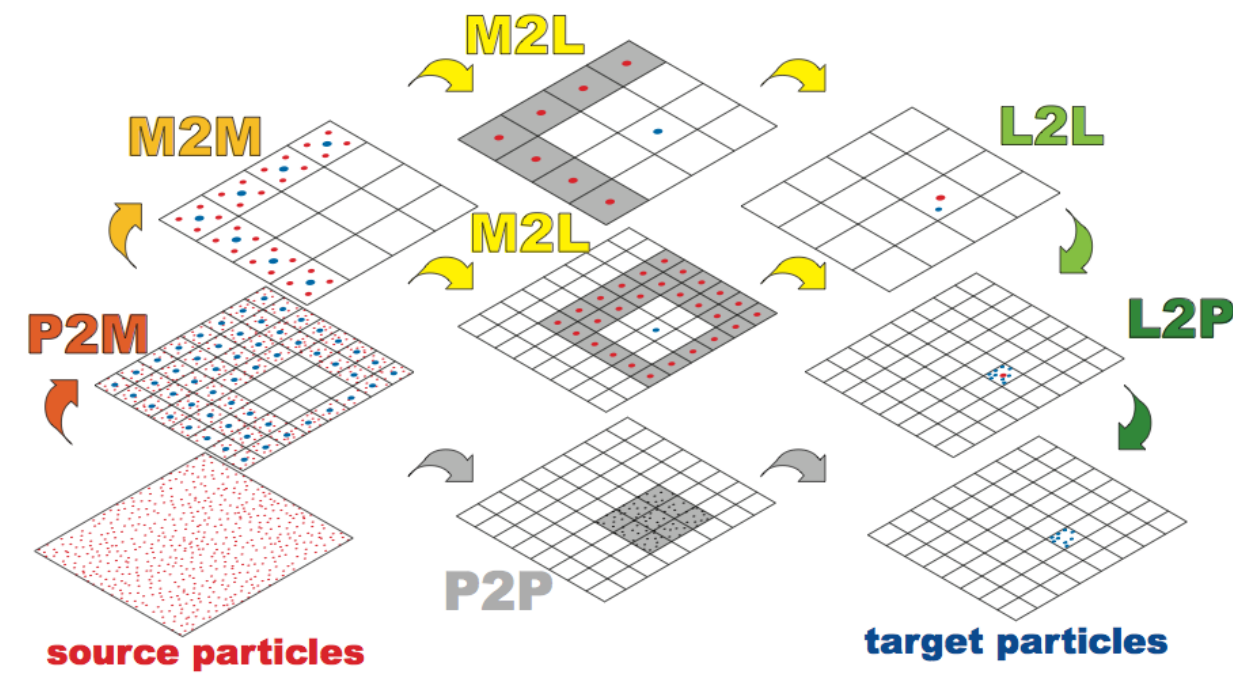
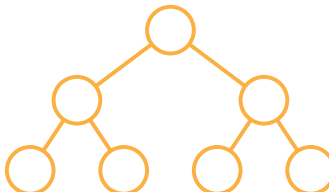
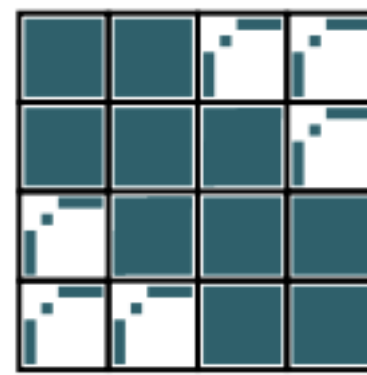
FMMはmatrix-freeの H^2 -matrix

FMMは動径基底関数しか扱えない

weak admissibility



strong admissibility



My new C++ code

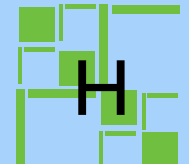
C++ Class

dense

D

low-rank LR

LR

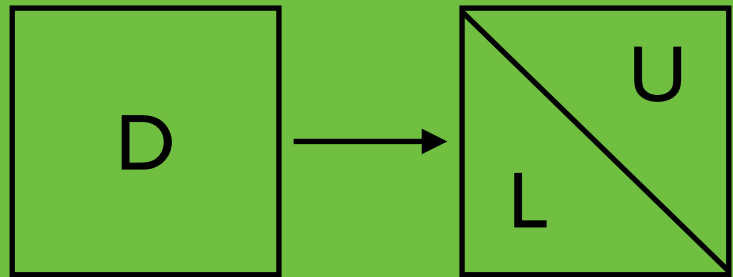


Operator overload

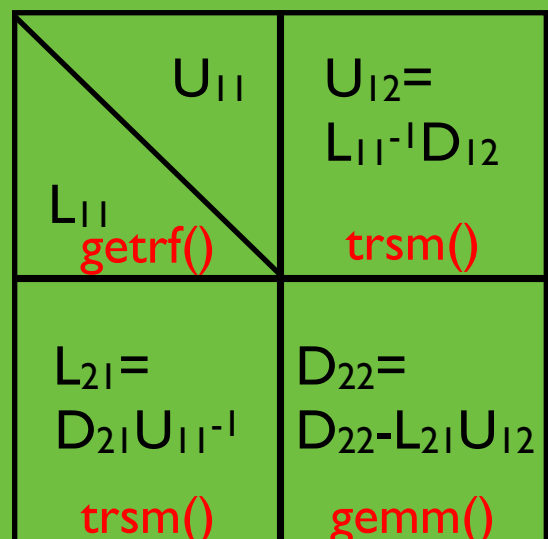
$$\begin{aligned} D &= D + D \\ L &= D * L \\ H &= H + H \end{aligned}$$

LU decomposition

D.getrf()



H.getrf()



D.trsm(L)

$$L_{11}^{-1} D_{12}$$

H_D.trsm(H_L)

$$= \begin{bmatrix} L_{11} & 0 \\ L_{21} & L_{22} \end{bmatrix}^{-1} \begin{bmatrix} D_{11} & D_{12} \\ D_{21} & D_{22} \end{bmatrix} = \begin{bmatrix} L_{11}^{-1} D_{11} & L_{22}^{-1} D_{12} \\ -L_{22}^{-1} L_{21} L_{11}^{-1} D_{11} + L_{22}^{-1} D_{21} & -L_{22}^{-1} L_{21} L_{11}^{-1} D_{12} + L_{22}^{-1} D_{22} \end{bmatrix}$$

D.gemm(L,U)
D₂₂-L₂₁U₁₂

H_D.gemm(H_L,H_U)

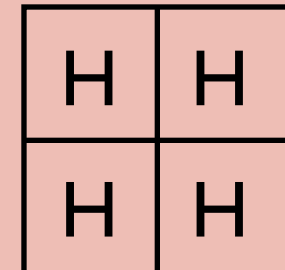
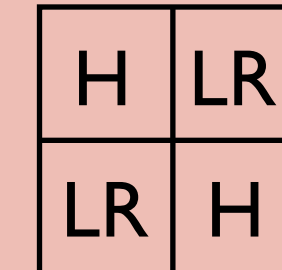
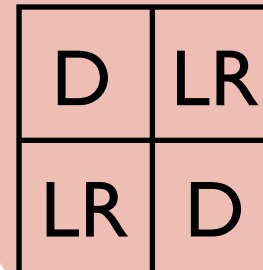
$$\begin{bmatrix} D_{11} & D_{12} \\ D_{21} & D_{22} \end{bmatrix} = \begin{bmatrix} L_{11} & L_{12} \\ L_{21} & L_{22} \end{bmatrix} \begin{bmatrix} U_{11} & U_{12} \\ U_{21} & U_{22} \end{bmatrix}$$

constructor
destructor

Dense D(N,N)

LowRank LR(D,rank)

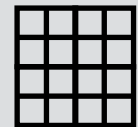
Hierarchical H(2,2)



Any H structure

Hierarchical H(4,4)

BLR too



admissibility

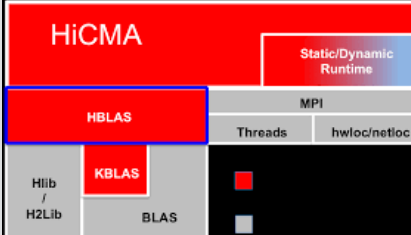
Weak



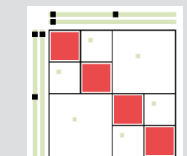
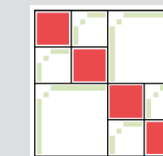
Strong



Hierarchical A(laplacelD, randx, N, N, rank, nleaf, admis, nblocks, nbblocks);



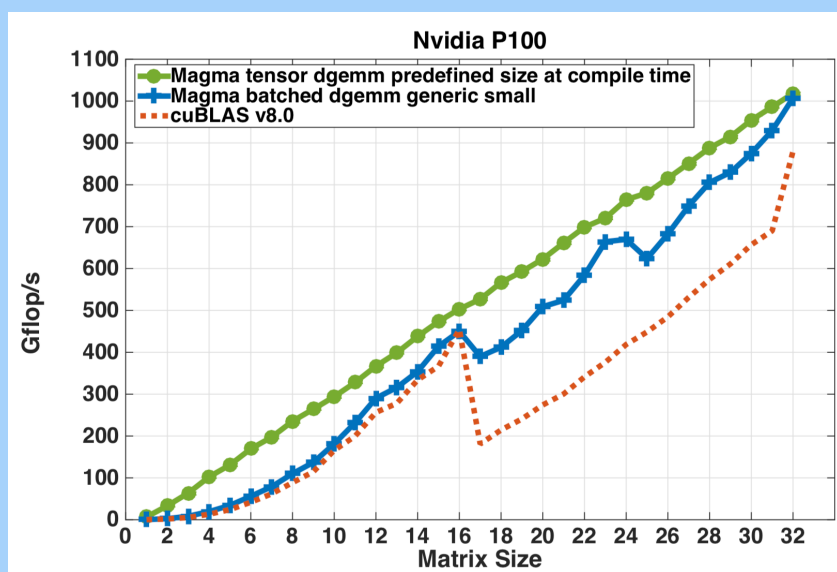
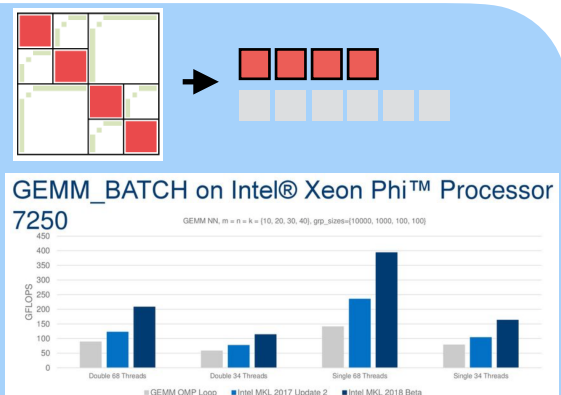
nested basis



GPU implementation

Batch KBLAS

batch GEMM
batch GEMV



Contents lists available at [ScienceDirect](#)

Parallel Computing

journal homepage: www.elsevier.com/locate/parco



Batched QR and SVD algorithms on GPUs with applications in hierarchical matrix compression

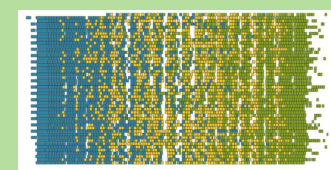
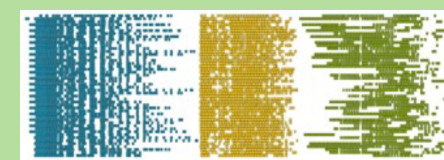
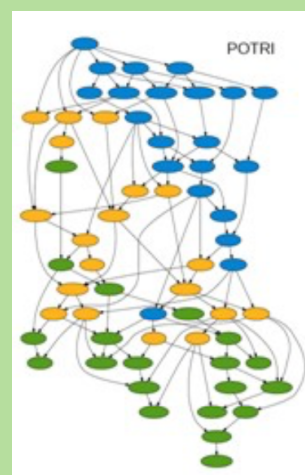
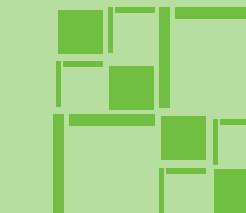
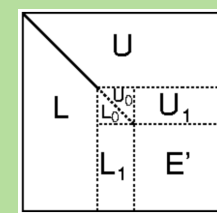
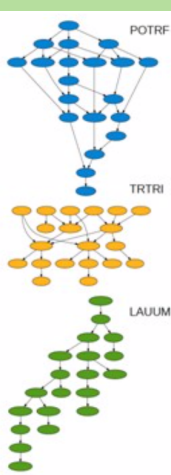


Wajih Halim Boukaram^{a,*}, George Turkiyyah^b, Hatem Ltaief^a, David E. Keyes^a

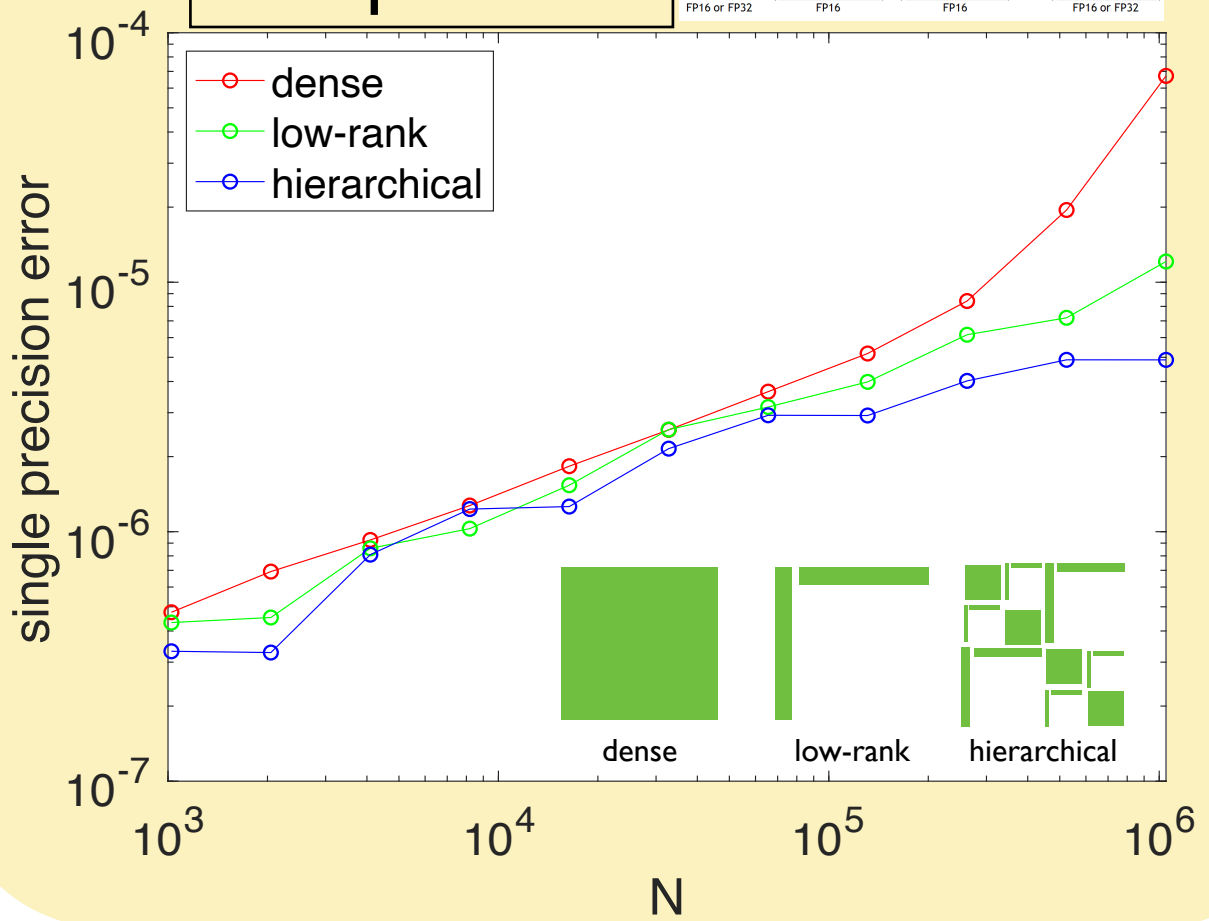
batch QR
batch SVD
batch RSVD
batch ACA (variable M,N,K)

Runtime for LU

starPU
OmpSs



Low precision



H行列は深層学習に適用できるか？

深層ニューラルネットは
密行列演算になる

置み込みNNは
密行列積になる

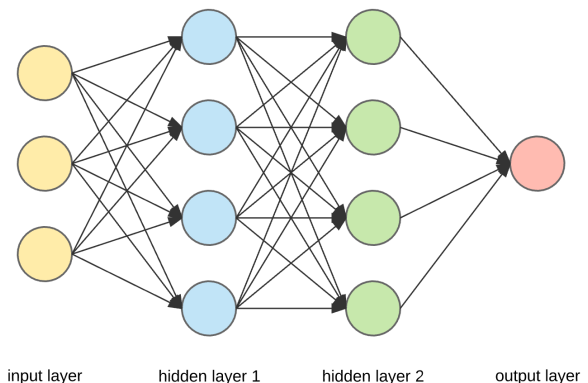


Image data

D ₀	D ₁	D ₂
D ₃	D ₄	D ₅
D ₆	D ₇	D ₈

D ₀	D ₁	D ₂
D ₃	D ₄	D ₅
D ₆	D ₇	D ₈

D _{0,0,:,:}	D _{0,1,:,:}	D _{0,2,:,:}
D _{3,0,:,:}	D _{3,1,:,:}	D _{3,2,:,:}
D _{6,0,:,:}	D _{6,1,:,:}	D _{6,2,:,:}

Filter data

F ₀	F ₁	F ₀	F ₁	F ₀	F ₁
F ₂	F ₃	F ₂	F ₃	F ₂	F ₃

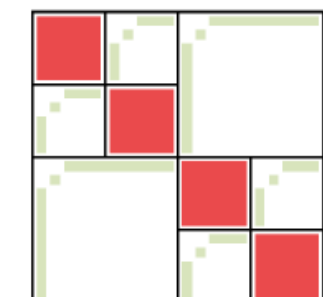
F _{0,0,:,:}	F _{0,1,:,:}				
G ₀	G ₁	G ₀	G ₁	G ₀	G ₁
G ₂	G ₃	G ₂	G ₃	G ₂	G ₃

F _{1,0,:,:}	F _{1,1,:,:}						
G ₀	G ₁	G ₂	G ₃	G ₀	G ₁	G ₂	G ₃

N = 1
C = 3
H = 3
W = 3
K = 2
R = 2
S = 2
u=v = 1
pad_h = 0
pad_w = 0

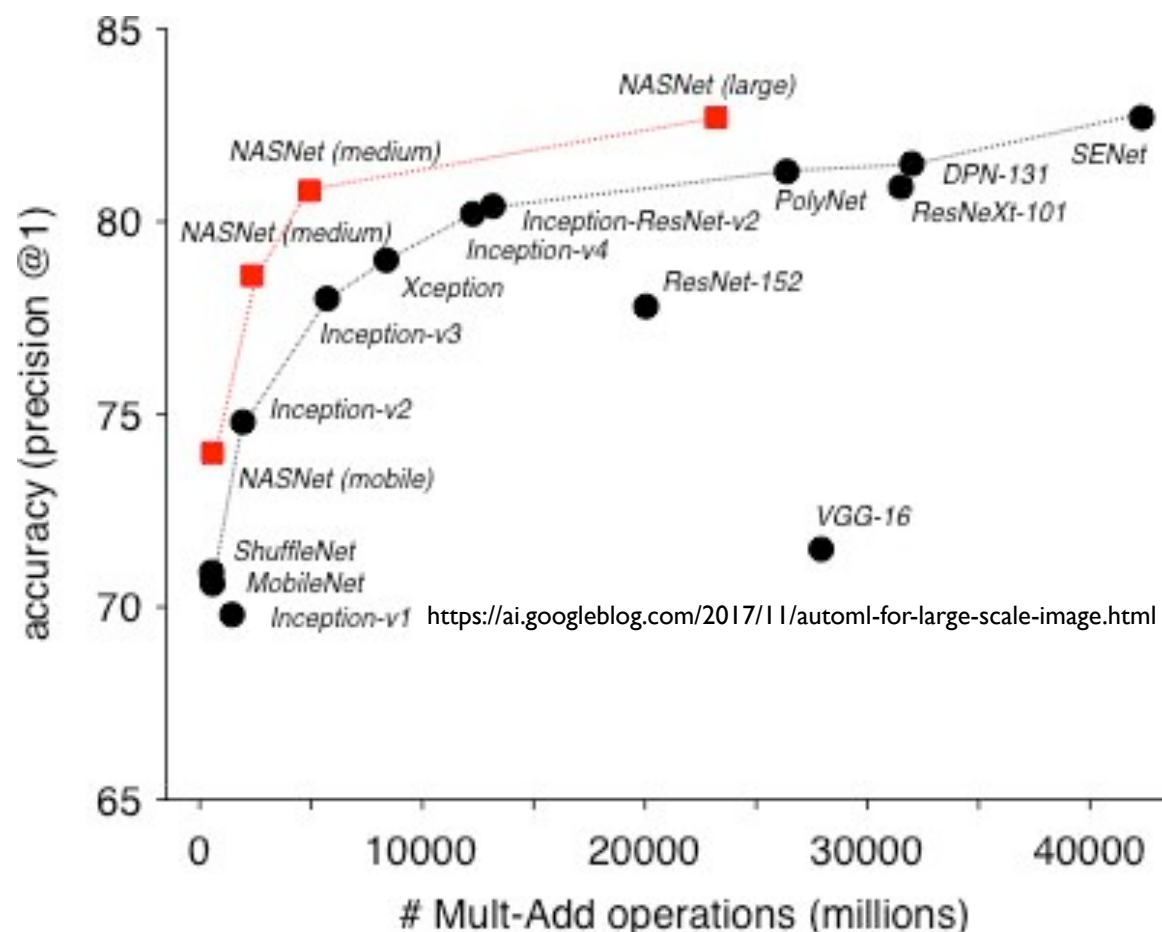
https://arxiv.org/abs/1410.0759

H行列は密行列の
高速近似解法

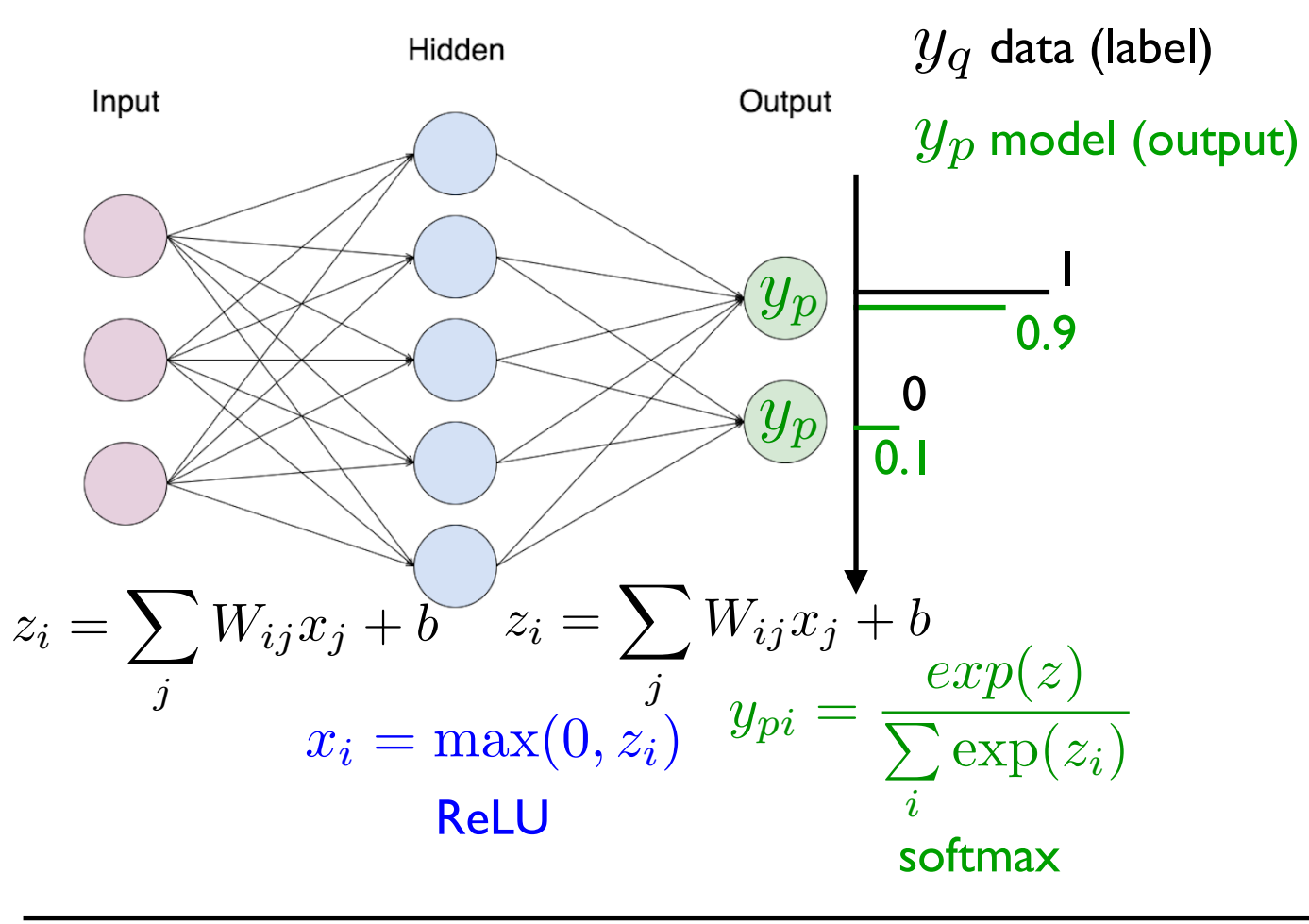


- 行列が非常に長細い
ブロックのランクが高い
圧縮した行列が1回しか使われない

低ランク近似を用いてNN自体を圧縮



H行列とKronecker因子分解



Cross entropy loss function

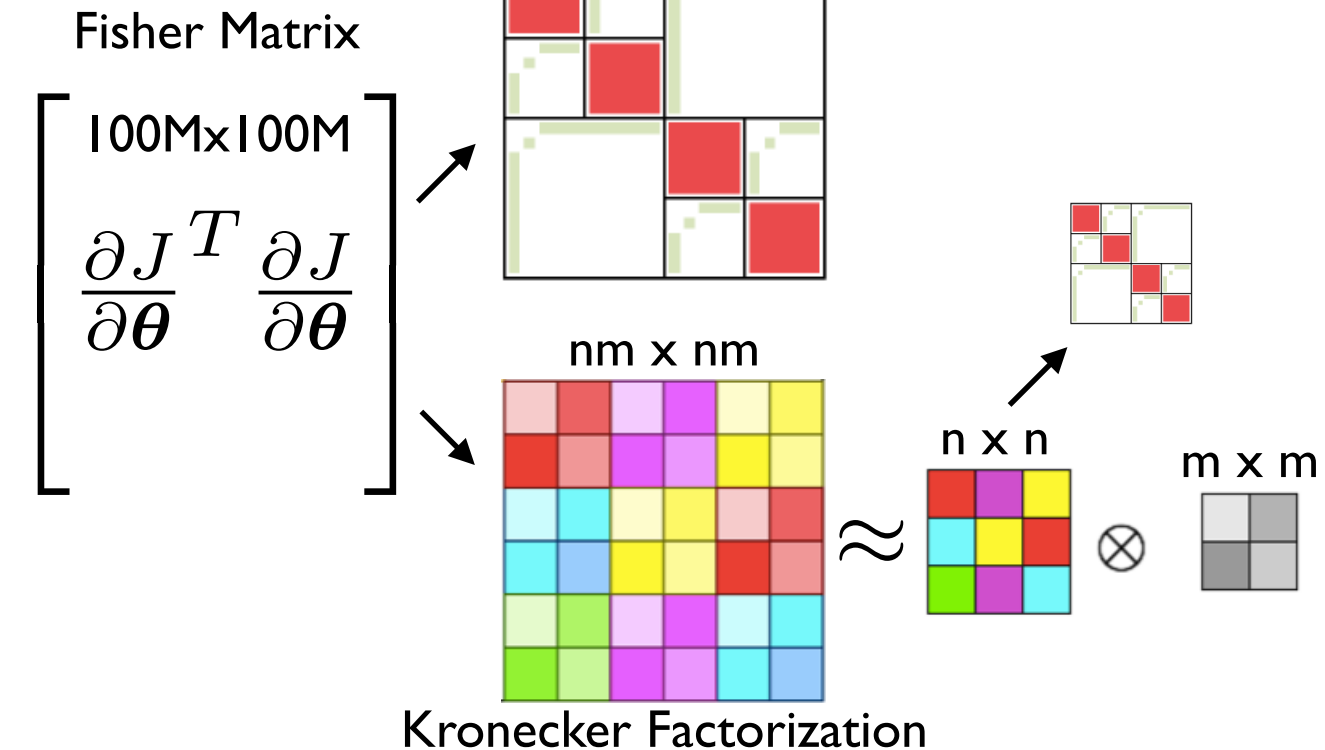
$$\begin{aligned}
 J(\theta) &= E_q(-\log p_\theta(y|\mathbf{x})) \\
 &= \sum_{(\mathbf{x}, y)} -q(y|\mathbf{x}) \log p_\theta(y|\mathbf{x}) \\
 &= \sum_{\mathbf{x}} \{-y_q \log y_p - (1 - y_q) \log(1 - y_p)\} \\
 &= \sum_{\mathbf{x}} \mathcal{L}(\mathbf{x}, \theta)
 \end{aligned}$$

Back propagation

$$\begin{aligned}
 \frac{\partial J}{\partial W_{ij}} &= \frac{\partial J}{\partial y_{pi}} \frac{\partial y_{pi}}{\partial z_i} \frac{\partial z_i}{\partial W_{ij}} \\
 &= \sum_{\mathbf{x}} \frac{\partial \mathcal{L}}{\partial W_{ij}} = \sum_{\mathbf{x}} \frac{\partial \mathcal{L}}{\partial z_i} \frac{z_i}{W_{ij}} = \sum_{\mathbf{x}} g_i a_j
 \end{aligned}$$

Kronecker Product

Hierarchical Low-rank?



$$\begin{aligned}
 \left(\frac{\partial J^T}{\partial \theta} \frac{\partial J}{\partial \theta} \right)^{-1} &= \left\{ \left(\sum_{\mathbf{x}} \mathbf{g} \otimes \mathbf{a} \right)^T \left(\sum_{\mathbf{x}} \mathbf{g} \otimes \mathbf{a} \right) \right\}^{-1} \\
 &\approx \left(\sum_{\mathbf{x}} \mathbf{g}^T \mathbf{g} \right)^{-1} \otimes \left(\sum_{\mathbf{x}} \mathbf{a}^T \mathbf{a} \right)^{-1} \\
 &= G^{-1} \otimes A^{-1}
 \end{aligned}$$

まとめ

- 行列の低ランク構造は元となる計算点の幾何学的な配置に依存
- 跡行列は計算点の接続, ランクは計算点の距離に関係する
- FMM は matrix-free の H^2 行列一ベクトル積
- 行列の形でFMMの演算を保存しておくことは左辺が多数ある場合に有効
- 階層的低ランク近似の手法間の違いは基底の共有と許容条件の違い
- Nullity theoremは A と A^{-1} の厳密なランク構造が同じことを保証するが数値的なランクは異なる
- 深層学習で扱う高次元の空間では低ランク近似よりもクロネッカー因子分解のほうが相性が良い